

04;12  
©1992 г.

## РЕЖИМЫ ЗАПУСКА ПСЕВДОИСКРОВОГО РАЗРЯДНИКА СО ВСПОМОГАТЕЛЬНЫМ ТЛЕЮЩИМ РАЗРЯДОМ В УЗЛЕ ПОДЖИГА

*К.А.Клименко, Ю.Д.Королев, В.Г.Работкин, О.Б.Франц, И.А.Шемякин*

Исследуется влияние режимов горения вспомогательного тлеющего разряда в узле поджига псевдоискрового разрядника на времена задержки срабатывания. Найдены условия, при которых имеют место малое время задержки и слабая зависимость этого времени от давления. Обсуждаются особенности, связанные с влиянием величины пускового напряжения на срабатывание разрядника.

В последнее время наблюдается повышенный интерес к исследованию нового типа коммутирующих приборов на основе разряда низкого давления с холодным катодом, часто называемых псевдоискровыми разрядниками [1–3]. Их рассматривают как альтернативу водородным тиатронам в устройствах, где требуются высокая крутизна фронта импульса коммутируемого тока и наносекундная стабильность срабатывания. Электродная система разрядника представляет собой две полости, сообщающиеся через отверстие на оси. Исследование различных способов запуска показало перспективность создания разрядников со вспомогательным стационарным тлеющим разрядом в узле поджига [2]. Ясно, что условия горения вспомогательного разряда, а также особенности конструктивного выполнения узла поджига влияют на процесс зажигания разряда в основном промежутке. Влияние этих факторов изучается в настоящей работе.

Упрощенная конструкция разрядника и электрическая схема питания показаны на рис. 1. Корпус разрядной камеры 1 представлял собой цилиндр из керамики внутренним диаметром 86 мм с фланцами, на которых крепились электроды (анод 2 и катод 3) основного промежутка. Форма электродов выбрана так, чтобы обеспечить максимальное пробивное напряжение в области левой ветви кривой Пашена, а также предотвратить запыление поверхности керамики парами материала электродов. Длина зазора в основном промежутке составляла 4 мм и диаметры отверстий на оси электродов 2–4 также были 4 мм.

Устройство поджига представляло собой два полых электрода 4 и 5, между которыми зажигался стационарный тлеющий разряд. Балластное сопротивление  $R_3 = 850$  кОм было существенно больше  $R_4 = 1$  кОм, поэтому падение напряжения на сопротивлении  $R_4$  в процессе горения вспомогательного тлеющего разряда оказывалось пренебрежимо малым.

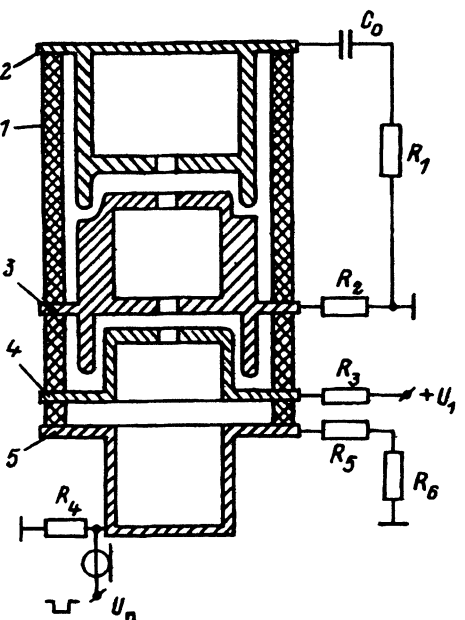


Рис. 1. Конструкция разрядника и электрическая схема питания.

Конструкция разрядника являлась разборной, что позволяло подбирать форму электродов 3–5, а также их взаимное расположение относительно друг друга. Основные эксперименты проведены при диаметре катодной полости электрода 3, равной 20 мм, и высоте полости 15 мм. Диаметр полостей электродов 4 и 5 вспомогательного тлеющего разряда составлял 26 мм, а расстояние от дна катодной полости до дна анодной — 80 мм. В качестве рабочих газов в приборе применялись азот и воздух. Давление регулировалось в пределах  $10^{-2} - 10^{-3}$  Тор за счет изменения соотношения между скоростью откачки и натекания газа.

Цепь питания основного промежутка включала емкость  $C_0 = 47 \text{ нФ}$ , заряжаемую напряжением  $U_0 = 5 - 20 \text{ кВ}$ , сопротивление нагрузки  $R_1 = 1.5 \Omega$  и низкоомный шунт  $R_2$  для осциллографической регистрации тока разряда. Волновое сопротивление цепи разряда  $\rho = 2 \Omega$ , что несколько выше сопротивления нагрузки, и характер тока был колебательным.

Для запуска прибора необходимо обеспечить проникновение электронов из плазмы вспомогательного разряда в катодную полость электрода 3 через нижнее отверстие. В свою очередь электроны под действием потенциала  $U_0$  могут проникать в основной зазор. Хотя длина свободного пробега электронов для реакции ионизации больше размеров полости катода 3, часть электронов производит ионизацию и в полости накапливается объемный заряд положительных ионов. В результате начинает играть роль эффект полого катода, ионизация в полости усиливается, что способствует увеличению потока электронов в основной зазор. В конечном счете это вызывает пробой основного промежутка в соответствии с механизмом, описанным в [4,5].

В исходном состоянии горение вспомогательного тлеющего разряда практически не влияет на пробивное напряжение разрядника, так как электроны не проникают в полость катода 3. Потенциал электрода 4,

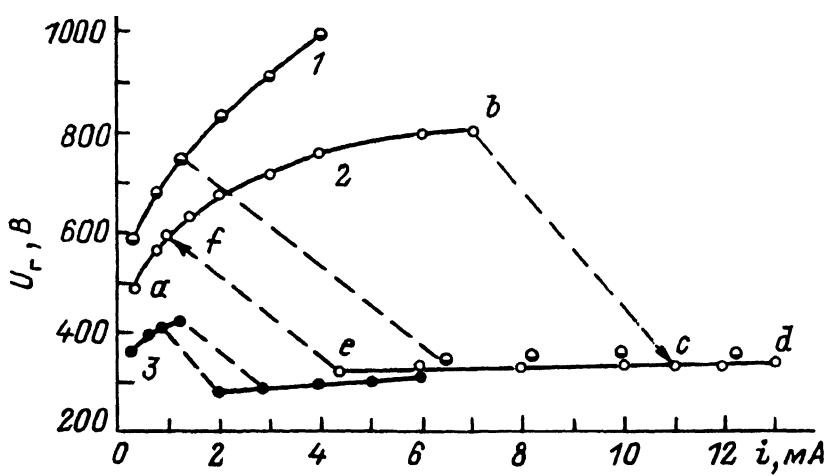


Рис. 2. Вольт-амперная характеристика тлеющего разряда в узле поджига при разных давлениях азота.

1 —  $4 \cdot 10^{-2}$ , 2 —  $5 \cdot 10^{-2}$ , 3 —  $7 \cdot 10^{-2}$  Тор.

равный напряжению горения тлеющего разряда, положителен, и электрическое поле в зазоре между электродами 3 и 4 является тормозящим. При подаче пускового импульса  $U_p$  на сопротивление  $R_4$  электрод 5 оказывается под отрицательным потенциалом относительно электрода 3 и электроны могут проникать в полость 3. Пусковой импульс имел амплитуду до 10 кВ, длительность фронта не хуже 30 нс, а накопительная емкость в цепи поджига, разряжающаяся на сопротивление  $R_4$ , составляла 3.3 нФ.

На рис. 2 показаны вольт-амперные характеристики вспомогательного тлеющего разряда в азоте при разных давлениях. Рассмотрим особенности горения разряда на примере кривой для  $p = 5 \cdot 10^{-2}$  Тор. При малых токах вольт-амперная характеристика является растущей (участок  $ab$ ). По сравнению с характеристикой классического аномального тлеющего разряда в плоскошаралльной системе электродов данная кривая идет ниже, так как имеет место эффект полого катода [6]. В примененной конструкции длина катодного слоя соизмерима с поперечным размером катодной полости. Участок  $ab$  характеризуется тем, что в разряде не наблюдается области, соответствующей отрицательному свечению, а сам разряд можно назвать затрудненным тлеющим разрядом с полым катодом.

При увеличении напряжения  $U_1$  и достижении точки  $b$  происходит скачкообразное увеличение тока и переход на участок  $cd$  вольт-амперной характеристики. Здесь вблизи оси полого катода яркость свечения увеличивается и эту область можно интерпретировать как аналог отрицательного свечения. Соответственно напряжение горения при наличии отрицательного свечения уменьшается. Режим разряда на участке  $cd$  можно назвать аномальным тлеющим разрядом с полым катодом. Описанный эффект изменения свечения разряда при переходе из одного режима в другой хорошо наблюдался при использовании конструкции, в которой

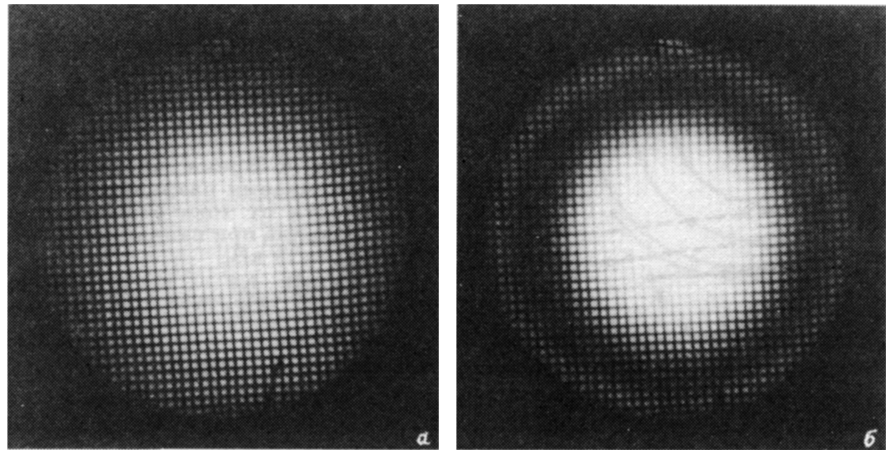


Рис. 3. Фотографии свечения затрудненного (а) и аномального (б) тлеющих разрядов в узле поджига.

торец электрода 5 представлял мелкоячеистую сетку. Соответствующие фотографии разряда через сетку представлены на рис. 3.

Если рабочая точка вольт-амперной характеристики находится в области аномального разряда, то при уменьшении тока за счет уменьшения напряжения  $U_1$  обратный переход в затрудненный режим происходит не из точки с, а из точки е по пунктирной кривой ef. Таким образом, имеет место гистерезис вольт-амперной характеристики.

Перевод вспомогательного разряда из одного режима горения в другой осуществляется также при подаче пускового импульса на сопротивление  $R_4$ . Рассмотрим особенности этого процесса. Поскольку сопротивление тлеющего разряда достаточно велико и соизмеримо с  $R_3$ , то в первый момент времени распределение пускового напряжения по электродам определяется паразитными емкостями  $C_1 = 8 \text{ пФ}$  между электродами 5 и 4 и  $C_2 = 17 \text{ пФ}$  между электродами 4 и 3. Соответственно потенциал электрода 4 относительно "земли"

$$U_4 = U_r - U_n \frac{C_1}{C_1 + C_2}, \quad (1)$$

а падение напряжения на тлеющем разряде

$$U_p = U_r + U_n \frac{C_2}{C_1 + C_2}, \quad (2)$$

где  $U_r$  — напряжение горения тлеющего разряда до подачи пускового импульса  $U_n$ .

Переходный процесс определяется разрядкой емкости  $C_1$  через сопротивление плазмы тлеющего разряда, которое в свою очередь уменьшается во времени за счет ударной ионизации в газе. Если исходный режим горения тлеющего разряда соответствует участку fb, то после окончания пускового импульса устанавливается стационарный режим горения, соответствующий участку ec. Если же вначале разряд горел на участке af

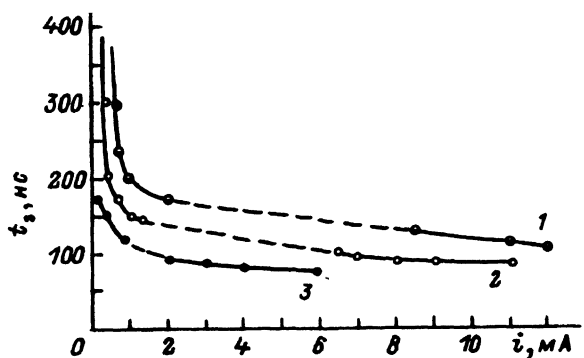


Рис. 4. Время запаздывания срабатывания разрядника в зависимости от тока вспомогательного разряда при напряжении поджига  $U_p = 10$  кВ.

$U_0$ , кВ: 1,2 — 15; 3 — 5;  $p$ , Тор: 1 —  $3.6 \cdot 10^{-2}$ ; 2 —  $4 \cdot 10^{-2}$ ; 3 —  $7 \cdot 10^{-2}$ .

вольт-амперной характеристики, то после окончания импульса поджига устанавливается исходное состояние разряда.

Отметим также интересный факт, что перевод разряда из затрудненного режима горения в аномальный режим может быть осуществлен с участка  $fb$  при статическом пробое основного промежутка. Причина здесь, по-видимому, в том, что в процессе зажигания разряда в основном промежутке на оси разрядника формируется ионный пучок малого диаметра [1,5], который проникает в полость узла поджига и инициирует смену режима горения разряда в полости.

Условия горения вспомогательного разряда влияют на времена запаздывания срабатывания разрядника относительно момента прихода импульса поджига. Наиболее резко это проявлялось при неоптимизированных размерах катодной полости электродов 3 — 5. Например, проводились эксперименты при диаметре полости электрода 3, равном 8 см, и глубине полости 8.5 см. Геометрия узла поджига была близкой к описанной выше. Здесь для рабочего напряжения  $U_0 = 15$  кВ, давления газа  $p = 5 \times 10^{-2}$  Тор и амплитуде импульса поджига  $U_p = 10$  кВ в режиме горения затрудненного разряда время запаздывания  $t_3$  составляло около 800 нс, а при переходе к аномальному режиму оно резко уменьшалось до 150 нс.

В описываемой здесь конструкции подобный переход происходит более плавно. Результаты измерения времен  $t_3$  в зависимости от тока вспомогательного разряда показаны на рис. 4. При увеличении тока в цепи поджига время запаздывания уменьшается. После достижения тока, соответствующего точке 1 на рис. 2, в узле поджига зажигается аномальный разряд. Переходная область показана пунктиром на кривых рис. 4. Как в первом, так и во втором режимах горения вспомогательного разряда возможно получение малых времен  $t_3 < 200$  нс и стабильности срабатывания не хуже  $\pm 5$  нс. Однако в первом случае диапазон токов, обеспечивающих малые  $t_3$ , довольно узкий. Увеличение тока ведет к зажиганию аномального разряда, а уменьшение — к резкому росту  $t_3$ . Кроме того, время запаздывания здесь сильно зависит от давления газа.

Легко видеть, что уменьшение давления вызывает перемещение рабочей точки на новую кривую  $t_3(i)$  влево и вверх по плоскости рис. 4. Например, если при  $p = 4 \cdot 10^{-2}$  Тор и токе  $i = 0.8$  мА имеем  $t_3 = 180$  нс, то для  $p = 3.6 \cdot 10^{-2}$  Тор время запаздывания становится более 250 нс.

Таким образом, в режиме затрудненного разряда в узле поджига необходимо особое внимание уделять стабилизации давления в разряднике.

Рис. 5. Время запаздывания срабатывания разрядника в зависимости от напряжения поджига при рабочем напряжении  $U_0 = 15$  кВ.

1–3 — для затрудненного разряда при токе  $i = 0.8$  мА; 4,5 — для аномального разряда при  $i = 7$  мА;  $p$ , Тор: 1 —  $3.6 \cdot 10^{-2}$ , 2 —  $4 \cdot 10^{-2}$ , 3 —  $5 \cdot 10^{-2}$ , 4 —  $4 \cdot 10^{-2}$ , 5 —  $5 \cdot 10^{-2}$ .

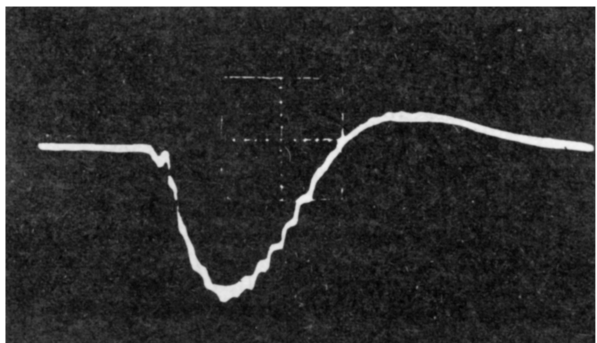
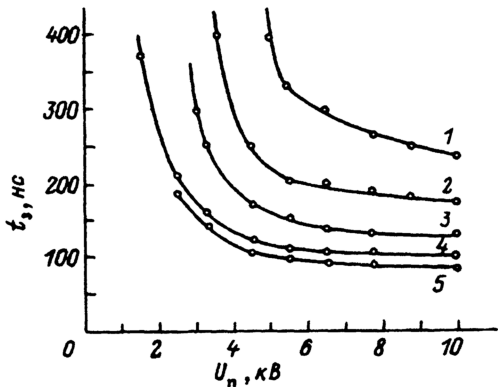


Рис. 6. Осциллограмма коммутируемого тока разряда. Амплитуда тока 5.7 мА, развертка 100 нс/дел.

Исключение зажигания аномального разряда достигается за счет уменьшения глубины катодной полости. Именно в таких условиях работал разрядник, описанный в [6].

Из вольт-амперных характеристик (рис. 2) видно, что при аномальном разряде ток практически не зависит от давления газа, что представляет собой один из факторов, обусловливающих и слабую зависимость  $t_3$  от давления. Однако ток вспомогательного разряда здесь должен быть около 10 мА и более, чтобы обеспечить аномальный разряд во всем диапазоне рабочих давлений  $3\text{--}5 \cdot 10^{-2}$  Тор. Малые времена запаздывания и слабая зависимость  $t_3(p)$  благоприятствуют использованию этого режима для параллельной работы нескольких разрядников на общую нагрузку.

На рис. 5 показана зависимость  $t_3$  от пускового напряжения. Начиная с некоторых малых напряжений  $U_n$  время запаздывания резко возрастает. Как отмечалось, пусковое напряжение распределяется по электродам узла поджига в соответствии с емкостями  $C_1$  и  $C_2$  так, что потенциал электрода 4 определяется из (1). Видно, что  $U_4$  может быть как положительным, так и отрицательным. Во втором случае электроны в промежутке между электродами 3 и 4 ускоряются, а сам промежуток можно назвать по аналогии с терминологией, принятой для плазменных источников электронов, извлекающим промежутком. Имеется в виду, что электроны под действием потенциала  $U_4$  извлекаются из анодной поло-

сти вспомогательного разряда. Для такого режима характерны малые времена  $t_3$  и слабое влияние напряжения поджига на  $t_3$ . Так как при аномальном тлеющем разряде напряжение горения ниже, чем при затрудненном, то диапазон пусковых напряжений, обеспечивающих малые  $t_3$ , при аномальном разряде расширяется. Дополнительно этот диапазон можно расширить, подключая параллельно емкости  $C_1$  дополнительную емкость [6].

Описанный разрядник испытывался нами при работе с частотой следования импульсов  $50 \text{ с}^{-1}$ . Типичный режим работы соответствовал напряжению  $U_0 = 20 \text{ кВ}$ , напряжению  $U_n = 7 \text{ кВ}$ , току вспомогательного разряда  $i = 0.8 \text{ мА}$ , давлению газа  $p = 5 \cdot 10^{-2} \text{ Тор}$ . Осциллограмма тока разряда с наложением 10 последовательных импульсов показана на рис. 6. Видно, что имеет место высокая стабильность срабатывания и повторяемость импульсов. Максимальная продолжительность непрерывной работы при описываемых испытаниях составляла 1.5 ч, причем в течение этого времени не наблюдалось медленного дрейфа времени  $t_3$ . В дальнейшем планируется провести ресурсные испытания на нескольких приборах, изготовленных в металлокерамическом исполнении.

Авторы выражают признательность В.А.Лавриновичу за изготовление металлокерамических камер для данных экспериментов.

### Список литературы

- [1] Frank K., Christiansen J. // IEEE Trans. on Plasma Sci. 1989. Vol. 17. N 5. P. 748–753.
- [2] Kozlik C., Frank K., Almen O. et al. // IEEE Trans. on Plasma Sci. 1989. Vol. 17. N 5. P. 758–761.
- [3] Bauer H.R., Gundersen M.A. // Appl. Phys. Lett. 1990. Vol. 57. N 5. P. 434–436.
- [4] Коваль Н.Н., Королев Ю.Д., Пономарев В.Б. и др. // Физика плазмы. 1989. Т. 15. № 6. С. 747–752.
- [5] Клименко К.А., Королев Ю.Д. // Тез. докл. V Всесоюз. конф. по физике газового разряда. Кн. 2. Омск, 1990. С. 43–44.
- [6] Klimentko K.A., Kolesnikov A.V., Korolev Yu.D. et al. // Proc. XX Intern. Conf. on Phenomena in Ionized Gases. Pisa, 1990. P. 492–493.

Институт сильноточной электроники  
Томск

Поступило в Редакцию  
17 июля 1991 г.